

## บทความวิจัย

# การพัฒนาวิธีการคัดกรองและวิเคราะห์เออทراโนลาไมนเชิงสี โดยใช้อุปกรณ์เอนไซดานาโนเมตรเป็นตัวตรวจวัดเชิงสี

อับดุลราดี ยะໂກົ້າ ແລະ ວິໄນ ເສີຍງເພຣະ\*

## บทคัดย่อ

เออทراโนลาไมน (2-อะມືໂໂນເອທຮານອດ) เป็นสารที่นิยมใช้กันอย่างแพร่หลายในอุตสาหกรรม เช่น ในอุตสาหกรรมการผลิตผงซักฟอกและยา แต่อย่างไรก็ตามเออทراโนลาไมนนี้สามารถก่อให้เกิดการระคายเคืองต่อผิวหนัง ดวงตา และปอดได้ อีกทั้งการได้รับสารในปริมาณมากอาจก่อให้เกิดภาวะระบบประสาทล่วงกลางถูกกดทับ (central nervous system depression) ซึ่งการตรวจวัดด้วยเครื่องมือที่ใช้โดยทั่วไปในห้องปฏิบัติการนั้นล้วนแล้วแต่ใช้เวลานาน มีราคาแพง และมีเครื่องมือที่ยุ่งยากซับซ้อน ดังนั้นในงานวิจัยนี้ ทางผู้วิจัยจึงได้นำเสนอวิธีทางเลือกที่จะสามารถคัดกรองและตรวจวัดเออทراโนลาไมนได้อย่างง่ายและรวดเร็ว โดยในการตรวจจะอาศัยหลักการในการออกแบบชิเดชันอนุภาคเอนไซดานาโนเมตรภายใต้สภาวะในการทดลอง ส่งผลให้อุปกรณ์เอนไซดานาโนเมตรมีขนาดเล็กลงและเกิดการเปลี่ยนแปลงสีจากสีม่วงเป็นสีเขียว แต่หากในสารละลายนั้นประกอบด้วยเออทراโนลาไมน เออทراโนลาไมนจะสามารถยับยั้งการเกิดออกแบบชิเดชันของอนุภาคเงินได้ทำให้สีของสารละลายไม่เกิดการเปลี่ยนแปลง โดยภายในได้สภาวะที่เหมาะสม พนว่าค่าความเข้มสีนี้แสดงความสัมพันธ์เป็นเส้นตรงกับลักษณะการทึบแสงของความเข้มข้นของเออทราโนลาไมนในช่วง  $1 \text{ } \mu\text{g L}^{-1}$ - $100 \text{ } \mu\text{g L}^{-1}$  และมีขีดจำกัดในการตรวจวัดเท่ากับ  $0.5 \text{ } \mu\text{g L}^{-1}$  นอกจากนี้วิธีการตรวจเชิงสีนี้ยังแสดงความไวในการตรวจวิเคราะห์และความถูกต้องที่ดี ทำให้งานวิจัยที่พัฒนาขึ้นนี้สามารถนำมาประยุกต์ใช้เพื่อการคัดกรองและวิเคราะห์เออทراโนลาไมนได้อย่างถูกต้องและรวดเร็ว

**คำสำคัญ:** เออทราโนลาไมน อนุภาคเอนไซดานาโน การคัดกรอง ตัวตรวจวัดเชิงสี

# Colorimetric Screening and Analysis of Ethanolamine using Silver Nanoparticles as Colorimetric Agent

Abdulhadee Yakoh and Weena Siangproh\*

## ABSTRACT

Ethanolamine (2-aminoethanol) are widely used in many industries such as the production of detergent and pharmaceuticals. Ethanolamine is irritating to the skin, eyes and lungs. Moreover, extensive using may cause central nervous system depression in exposed to animals. Unfortunately, several analytical methods used for the detection of ethanolamine require time-consuming operation, expensive and sophisticated instrument which limiting their applications. Here, we report an alternatively novel visual method for simple and rapid determination of the ethanolamine. In this work, the assay principle is based on the oxidation of silver nanoparticles (AgNPs), which induces the etching of AgNPs and the changing of color from violet to orange. However, the presence of ethanolamine can prevent the etching of the AgNPs. Under optimal conditions, the mean color intensity is related linearly to the logarithmic concentration of ethanolamine in the range of  $1 \mu\text{g L}^{-1}$ - $100 \text{ mg L}^{-1}$  with a detection limit of  $0.5 \mu\text{g L}^{-1}$ . This colorimetric assay exhibits good sensitivity and accuracy, providing a simple and rapid method for the screening and analysis of ethanolamine.

**Keywords:** ethanolamine, silver nanoparticles (AgNPs), screening, colorimetric agent

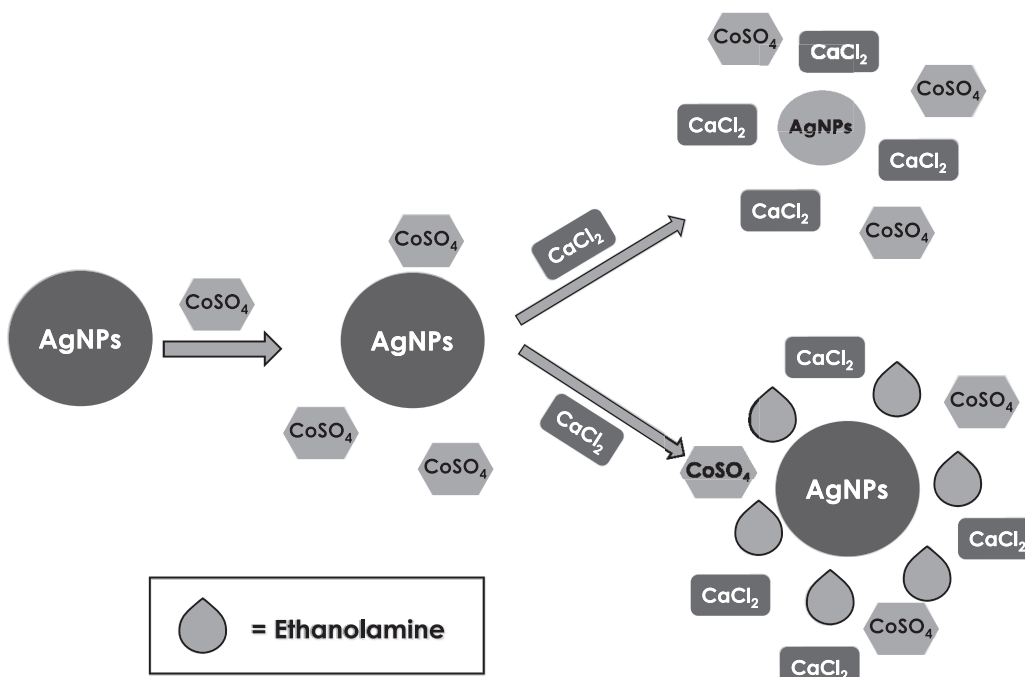
## บทนำ

เอทานอลามีน (Ethanolamine) หรือ 2-อะมิโนเอಥานอล (2-aminoethanol) คือสารอินทรีย์ที่เป็นพื้นทั่งแอลกอฮอล์ประមุกมิ (primary alcohol) และเอมีนประมุกมิ (primary amine) จัดเป็นสารที่มีฤทธิ์เป็นเบสอ่อน (weak base) โดยเอทานอลามีนเป็นสารที่นิยมใช้อบาย่างแพร่หลายในอุตสาหกรรมต่างๆ เช่น การใช้เป็นสารเคมีในการ scrubbing ของ acidic gases [1], การใช้เป็นวัตถุดับตั้งตันในกระบวนการผลิตต่างๆ เช่น ผงซักฟอก เป็นต้น นอกจากนี้เอทานอลามีนยังถูกนำมาใช้เป็นสารที่ช่วยเพิ่มความเสถียร (stabilizer) หรือสารที่ใช้ในการควบคุมพีเอช ( $\text{pH}$ ) ของปฏิกิริยาในอุตสาหกรรมการผลิตยา [2] โดยจากข้อมูลทางพิษวิทยาพบว่า การได้รับสารเอทานอลามีนในปริมาณมากอาจก่อให้เกิดภาระระบบประสาทล่วงกลางถูกกดทับ (central nervous system depression) อีกทั้ง Modica-Napolitano, J.S. และคณะ [3] ยังได้ทำการศึกษาถึงผลกระทบจากสารชนิดนี้ และพบว่าการได้รับสารเอทานอลามีนนั้นสามารถยับยั้งการทำงานของกระบวนการหายใจใน mitochondria ของสิ่งมีชีวิต (Mitochondria respiratory activity) ซึ่งก่อให้เกิดภาระความผิดปกติทางอารมณ์ (the pathophysiology of affective illnesses) เช่น ภาวะซึมเศร้า (depression) และ โรคอารมณ์สองขั้ว (Bipolar disorder) โดยระดับของสารเอทานอลามีนที่สามารถยอมให้มีได้ (threshold limit value, TLV) คือ  $3 \text{ mgL}^{-1}$  [2] จะเห็นว่าการตรวจวิเคราะห์เอทานอลามีนนั้นมีความลำดับซ้อนมากต่อมนุษย์และสิ่งมีชีวิต ดังนั้นวิธีที่ใช้ในการวิเคราะห์เอทานอลามีน จึงจำเป็นต้องมีความถูกต้อง แม่นยำ และนำไปใช้ได้ แต่เนื่องจากคุณสมบัติของเอทานอลามีน เช่น มวลโมเลกุลน้อย, ความมีขั้วมาก, การระเหยต่ำ, ถูกไอออกไซด์ได้ย่างในสารละลายน้ำ (aqueous solution) และไม่มีหมู่โครโนฟอร์ (chromophore) ในการดูดกลืนแสงช่วงยูวี-วิสิเบิล (UV-Vis) ทำให้การตรวจวิเคราะห์นั้นทำได้ยาก ทำให้พบรายงานการวิจัยที่น้อยมากๆ แต่อย่างไรก็ตามจากการทบทวนวรรณกรรมทั้งหมดที่เกี่ยวข้อง พนเทคโนโลยีทางวิเคราะห์ที่ได้ถูกนำมาใช้ในการวิเคราะห์ habriman เอทานอลามีน เช่น เทคนิคแก๊สโครมาโทกราฟี (Gas chromatography (GC)) [4], ของเหลวสมรรถนะสูง (High performance liquid chromatography (HPLC)) [5] หรือไออ่อนโครมาโทกราฟี (Ion chromatography) [6] ซึ่งล้วนแล้วแต่ใช้เครื่องมือที่ราคาแพง ต้องอาศัยผู้ที่มีความชำนาญในเครื่องมือนั้นๆ ใช้เวลาในการตรวจวิเคราะห์นาน และมีขั้นตอนในการเตรียมตัวอย่างที่ค่อนข้างยุ่งยากซับซ้อน ซึ่งอาจไม่เหมาะสมสมต่อการนำไปใช้ในการตรวจวิเคราะห์ในงานที่ต้องการทราบผลทันที (real time analysis) จึงเกิดข้อจำกัดในการใช้งานขึ้น ดังนั้นในงานวิจัยนี้ทางผู้วิจัยจึงมีเป้าหมายที่จะพัฒนาวิธีการคัดกรองและตรวจวิเคราะห์เอทานอลามีนให้มีความง่าย รวดเร็ว มีราคาถูก และให้ผลที่มีความถูกต้องแม่นยำเชื่อถือได้

ปัจจุบัน nano เทคโนโลยีได้เข้ามามีส่วนช่วยในการทำให้การตรวจวิเคราะห์ต่างๆ นั้นง่ายขึ้น เช่น การนำอนุภาคเงินขนาดนาโนเมตร ( $\text{AgNPs}$ ) และ อนุภาคทองขนาดนาโนเมตร ( $\text{AuNPs}$ ) มาใช้เป็นตัวตรวจวัดเชิงลึกของสารหลายประเภท เช่น สารชีวภาพ สารอินทรีย์ และสารอินทรีย์ต่างๆ โดยจากคุณสมบัติที่ได้เด่นของอนุภาคขนาดนาโนเมตรไม่ว่าจะเป็น ค่าสัมประสิทธิ์การดูดกลืนแสงที่สูง ความเข้ากันได้ทางชีวภาพ ความเสถียร และราคาที่ถูก ทำให้อนุภาคขนาดนาโนเมตรได้รับความสนใจอย่างกว้างขวาง ดังนั้นในงานวิจัยนี้ทางผู้วิจัยจึงได้เลือกใช้อนุภาคเงินขนาดนาโนเมตร ( $\text{AgNPs}$ ) ซึ่งมีการรายงานไว้ว่ามีค่าสัมประสิทธิ์การดูดกลืนแสงที่สูงกว่าอนุภาคทองขนาดนาโนเมตร ( $\text{AuNPs}$ ) ถึง 100 เท่า ที่ขนาดอนุภาคเดียวกัน อีกทั้งยังมีราคาที่ถูกกว่ามาใช้เป็นตัวตรวจวัดเชิงลึก โดยในการคัดกรองและตรวจวิเคราะห์หา

เอทธานอลามีนนั้นจะอาศัยหลักการขับยิ่งการเปลี่ยนแปลงลักษณะของอนุภาคเงินขนาดนาโนเมตร โดยในสภาวะที่ไม่มีเอทธานอลามีนอยู่นั้นจะเกิดการเปลี่ยนแปลงลักษณะของอนุภาคเงินขนาดนาโนเมตรจากลักษณะเมื่อวันเป็นลักษณะเมื่อวันนี้จะเกิดได้ยากขึ้น ดังนั้นการเปลี่ยนแปลงลักษณะของอนุภาคเงินขนาดนาโนเมตรจากลักษณะเมื่อวันเป็นลักษณะนี้จะเกิดได้ยากขึ้น ดังแสดงในรูปที่ 1 ทำให้การคัดกรองและการตรวจวัดปริมาณเอทธานอลามีนสามารถทำได้โดยการติดตามการเปลี่ยนแปลงลักษณะเมื่อวันนี้ได้ด้วยตาเปล่าโดยไม่ต้องอาศัยเครื่องมืออื่นๆ ที่ยุ่งยากซับซ้อน

จากข้อดีของวิธีที่พัฒนาขึ้นไม่ว่าจะเป็นความรวดเร็ว ง่าย และราคาที่ถูก ทำให้สามารถนำวิธีที่พัฒนาขึ้นนี้ไปประยุกต์ใช้ในการคัดกรองและวิเคราะห์เอทธานอลามีนในตัวอย่างจริงต่อไปได้



รูปที่ 1 แสดงหลักการตรวจวัดเอทธานอลามีนโดยใช้อนุภาคเงินขนาดนาโนเป็นตัวตรวจเชิงลึก

## อุปกรณ์และวิธีการทดลองสารเคมี

เอทธานอลามีน 97% (Ethanolamine 97%), โคบอลต์ชัลเฟตไฮเปตเต (Cobalt sulfate heptahydrate), คอปเปอร์ไนเตรต (Copper nitrate), คอปเปอร์ชัลเฟต (Copper Sulfate), นิกเกิลชัลเฟต (Nickel sulfate), แคลเซียมคลอไรด์ (Calcium chloride) จากบริษัทซิกมา-แอลดิช อนุภาคเงินขนาดนาโนเมตร (Silver nanoparticles) โดยมีแป้ง (starch) เป็นตัวเพิ่มเส้นใยรากฟ้า จากหน่วยปฏิบัติการวิจัย อุปกรณ์ขับรู้ จุฬาลงกรณ์มหาวิทยาลัย ซึ่งประกอบไปด้วยอนุภาคเงินขนาดนาโนลักษณะเมื่อวัน (45 นาโนเมตร), เหลือง (10 นาโนเมตร) และน้ำเงิน (50 นาโนเมตร), น้ำดีไอօนไนซ์ (Deionized water)

## อุปกรณ์และเครื่องมือ

ไมโครพิเพตขนาด 100 และ 1000 ไมโครลิตร (Micropipette, 100-1000  $\mu\text{L}$ ) จากบริษัท Eppendorf, เครื่องยูวี-วิสซิเบิลสเปกโตรมิเตอร์ (UV-Vis spectrometer) จากบริษัทชิมาสึ และ กล้องดิจิตอล (Digital camera) รุ่น Cyber-shot DSC-TX1 จากบริษัทโซนี่

## วิธีการดำเนินการวิจัย

### 1. การคัดกรองและตรวจวัดเอทธานาโนลามีนเชิงสีด้วยอนุภาคเงินขนาดนาโนเมตร

เตรียมสารละลายแบลงค์ โดยการหยดสารละลายของอนุภาคเงินขนาดนาโนเมตรสีม่วงเข้มข้น  $50 \text{ mgL}^{-1}$  ปริมาตร  $200 \mu\text{L}$  ลงในถ้วยหลุมที่ 1 ที่ผ่านการล้างด้วยน้ำดีไอօอไนซ์และอบให้แห้งแล้ว จากนั้นทำการหยดสารละลายโคงบล็อกซ์เซลฟ์เพตเข้มข้น  $1000 \text{ mgL}^{-1}$  ปริมาตร  $200 \mu\text{L}$  และสารละลายแคลเซียมคลอไรด์  $100 \text{ mgL}^{-1}$  ปริมาตร  $200 \mu\text{L}$  ลงในถ้วยหลุมก่อนหน้าที่มีการหยดอนุภาคเงินขนาดนาโนเมตร สารละลายจะเกิดการเปลี่ยนแปลงสีของอนุภาคเงินขนาดนาโนจากสีม่วงเป็นสีฟ้าซึ่งสามารถมองเห็นได้ด้วยตาเปล่าภายในเวลา 3 นาที ทำการบันทึกภาพการเปลี่ยนแปลงสีที่เกิดขึ้น

จากนั้นทำการตรวจวัดเอทธานาโนลามีนโดยการหยดสารละลายของอนุภาคเงินขนาดนาโนเมตรสีม่วงเข้มข้น  $50 \text{ mgL}^{-1}$  ปริมาตร  $200 \mu\text{L}$  ลงในถ้วยหลุมที่ 2 ที่ผ่านการล้างด้วยน้ำดีไอօอไนซ์และอบให้แห้งแล้ว จากนั้นทำการหยดสารละลายโคงบล็อกซ์เซลฟ์เพตเข้มข้น  $1000 \text{ mgL}^{-1}$  ปริมาตร  $200 \mu\text{L}$  ตามด้วยสารละลายเอทธานาโนลามีนที่ความเข้มข้นต่างๆ ปริมาตร  $200 \mu\text{L}$  และสารละลายแคลเซียมคลอไรด์  $100 \text{ mgL}^{-1}$  ปริมาตร  $200 \mu\text{L}$  ลงในถ้วยหลุมที่มีการหยดอนุภาคเงินขนาดนาโนเมตรไว้แล้ว โดยสารละลายจะเกิดการเปลี่ยนแปลงสีของอนุภาคเงินขนาดนาโนเพียงเล็กน้อยจนแทบจะไม่สามารถสังเกตได้ด้วยตาเปล่า เนื่องจากการบันทึกการเปลี่ยนแปลงสีของเอทธานาโนลามีน ทำการบันทึกภาพการเปลี่ยนแปลงสีที่เกิดขึ้นของสารละลายทั้งสองหลุมด้วยกล้องดิจิตอล แล้วนำไปวิเคราะห์เชิงปริมาณโดยซอฟต์แวร์ Adobe Photoshop เพื่อหาค่าความเข้มสีของสารละลาย โดยค่าความเข้มสีที่อ่านค่าได้จะถูกนำมาพลอตเป็นค่าลิเบรชั่นเคริฟเทียบกับความเข้มข้นเพื่อใช้ในการวิเคราะห์หาปริมาณเอทธานาโนลามีนในตัวอย่างต่อไป

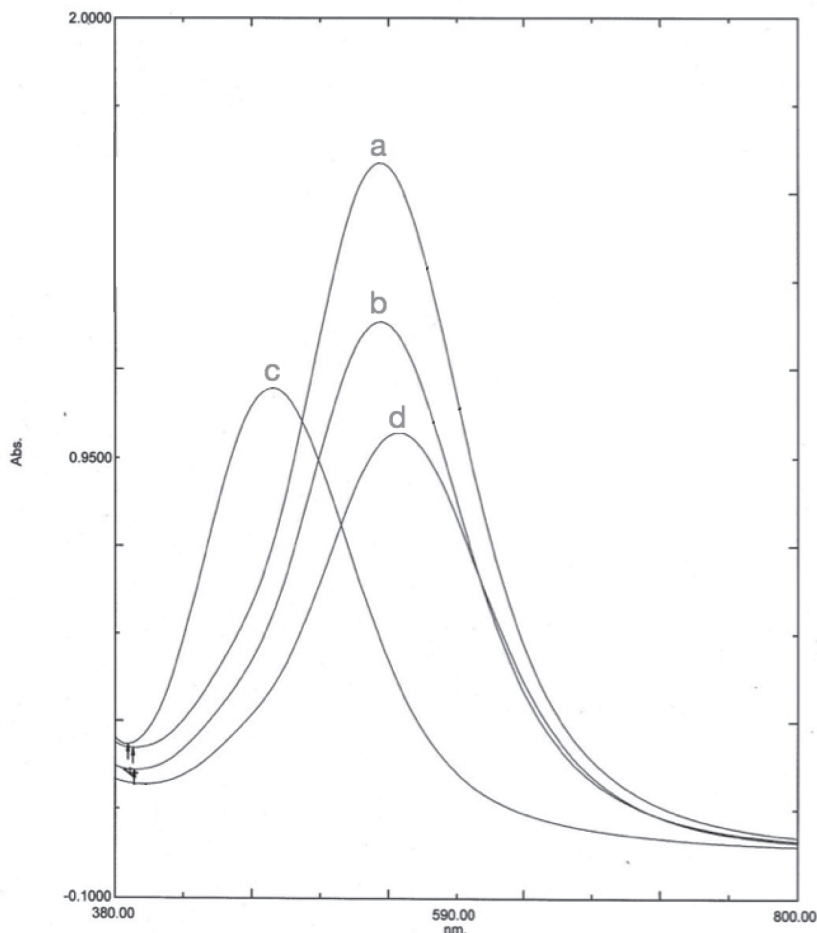
### 2. ศึกษาการดูดกลืนแสงของอนุภาคเงินขนาดนาโนเมตรด้วยเครื่องยูวี-วิสซิเบิลสเปกโตรมิเตอร์

เพื่อศึกษาถึงแนวโน้มของขนาดที่เปลี่ยนแปลงไปของอนุภาคเงินขนาดนาโนเมตรซึ่งมีความสัมพันธ์กับสีของสารละลาย จึงนำสารละลายที่ต้องการศึกษามาทำการตรวจวัดการดูดกลืนแสงด้วยเครื่องยูวี-วิสซิเบิลสเปกโตรมิเตอร์ในช่วงความยาวคลื่น  $390-800 \text{ นาโนเมตร (nm)}$  โดยใช้คิวเเเเตราฐานความกว้าง 1 เชนติเมตร

## ผลการวิจัย

### 1. สเปกตรัมการดูดกลืนแสงยูวี-วิสซิเบิล

เพื่อศึกษาถึงแนวโน้มของขนาดที่เปลี่ยนแปลงไปของอนุภาคเงินขนาดนาโนเมตรซึ่งมีความสัมพันธ์กับสีของสารละลาย จึงนำสารละลายที่ต้องการศึกษามาทำการตรวจวัดการดูดกลืนแสงด้วยเครื่องยูวี-วิสซิเบิลสเปกโตรมิเตอร์ในช่วงความยาวคลื่น 390-800 nm โดยจากยูวี-วิสซิเบิลสเปกตัรัม (รูปที่ 2) แสดงให้เห็นถึงความยาวคลื่นของค่าการดูดกลืนแสงสูงสุด ซึ่งจะพบว่าที่สภาวะปกติอนุภาคเงินขนาดนาโนเมตรสามารถดูดกลืนแสงได้ที่ความยาวคลื่น 542 nm (a) และการเติมโคบอลต์ชัลเฟตไม่ส่งผลต่อการเปลี่ยนตำแหน่งของความยาวคลื่น (b) แต่หากทำการเติมแคลเซียมคลอไรด์ลงไป จะพบว่าจากสเปกตัรัมจะเกิดการเลื่อนตำแหน่งของความยาวคลื่นไปทางความยาวคลื่นที่สีน้ำเงิน (Blue shift) จาก 542 nm มาอยู่ 477 nm (c) ซึ่งมีความสอดคล้องกับการเปลี่ยนแปลงสีของอนุภาคเงินขนาดนาโนที่เกิดขึ้น โดยจะเกิดการเปลี่ยนแปลงสีจากสีม่วงเป็นสีฟ้า ซึ่งแสดงให้เห็นถึงขนาดของอนุภาคเงินขนาดนาโนที่มีขนาดเล็กลง ทั้งนี้ทางผู้วิจัยเชื่อว่าการเลื่อนตำแหน่งของความยาวคลื่นและการเปลี่ยนแปลงสีที่เกิดขึ้นเกิดเนื่องจากในสภาวะที่มีแคลเซียมคลอไรด์อยู่ด้วยนั้น ออกซิเจนจะสามารถออกซิไดส์ (Oxidize) อนุภาคเงินขนาดนาโนเมตรได้ทำให้ออนุภาคเงินขนาดนาโนมีขนาดเล็กลงไปอีก ในขณะเดียวกัน หากในสารละลายมีเอทธานอลมีนอยู่จากสเปกตัรัมจะพบว่า ไม่เกิดการเลื่อนตำแหน่งของความยาวคลื่น (d) และสีของอนุภาคเงินขนาดนาโนยังคงมีสีม่วง ไม่เปลี่ยนแปลงเป็นสีฟ้า ซึ่งจากประภากล่าวที่เกิดขึ้น ทางผู้วิจัยเชื่อว่าเอทธานอลมีนนี้สามารถยับยั้งการออกซิไดส์อนุภาคเงินขนาดนาโนจากออกซิเจนในสภาวะที่มีโคบอลต์และแคลเซียมคลอไรด์ด้วยเอทธานอลมีนนี้ยังอยู่ในขั้นตอนการศึกษาที่จะอธิบายต่อไป



**รูปที่ 2** แสดงยูวี-วีสซิเบิลสเปกต์รัมของ (a) อนุภาคเงินขนาดนาโน  $100 \text{ mgL}^{-1}$  (b) อนุภาคเงินขนาดนาโน  $100 \text{ mgL}^{-1}$  และโคลอล์ชัลเฟต  $1000 \text{ mgL}^{-1}$  (c) อนุภาคเงินขนาดนาโน  $100 \text{ mgL}^{-1}$ , โคลอล์ชัลเฟต  $1000 \text{ mgL}^{-1}$  และ แคลเซียมคลอไรด์  $100 \text{ mgL}^{-1}$  และ (d) อนุภาคเงินขนาดนาโน  $100 \text{ mgL}^{-1}$ , โคลอล์ชัลเฟต  $1000 \text{ mgL}^{-1}$ , เอทธานอลามีน  $100 \text{ mgL}^{-1}$  และแคลเซียมคลอไรด์  $100 \text{ mgL}^{-1}$

## 2. การศึกษาสภาวะที่เหมาะสมต่อการคัดกรองและตรวจวิเคราะห์เอท厕โนลาไมน์

สภาวะต่างๆ ที่ใช้ในการทดลองไม่ว่าจะเป็น ชนิดของอนุภาคเงินขนาดนาโน ผลของโภบล็อกซ์เลฟต์ และผลของความเข้มข้นของแคลเซียมคลอไรด์ ล้วนแล้วแต่ส่งผลต่อประสิทธิภาพในการตรวจวิเคราะห์ทั้งสิ้น ดังนั้นในการทดลองจึงจะต้องมีการเลือกสภาวะที่เหมาะสมต่อการทดลอง

### 2.1 ผลการศึกษาการเลือกชนิดของอนุภาคเงินขนาดนาโนเมตรที่เหมาะสม

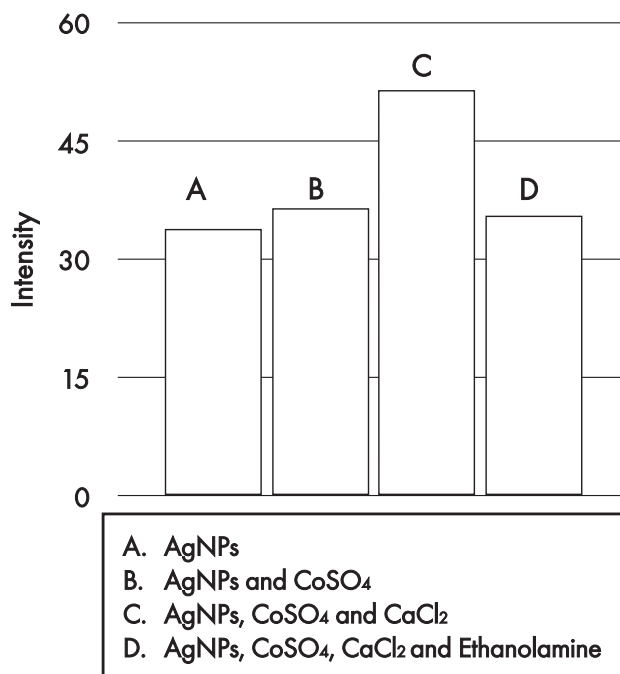
ปัจจัยแรกที่ล่วงผลต่อการทดลองคือชนิดของอนุภาคเงินขนาดนาโนเมตร โดยในการทดลอง อนุภาคเงินขนาดนาโนเมตรลีต่างๆ ไม่ว่าจะเป็นลีม่วง (ขนาดอนุภาค 45 nm) น้ำเงิน (ขนาดอนุภาค 50 nm) และ สีเหลือง (ขนาดอนุภาค 10 nm) ได้ถูกนำมาทดสอบ โดยพบว่าในสภาวะที่ไม่มีเอท厕โนลาไมน์อยู่นั้น (control) อนุภาคเงินขนาดนาโนสีม่วงสามารถทำให้เกิดการเปลี่ยนแปลงสีจากสีม่วงเป็นสีเข้มซึ่งให้ค่าผล ต่างของความเข้มสีที่มากที่สุดเมื่อเปรียบเทียบกับอนุภาคเงินขนาดนาโนสีอื่นๆ ดังนั้นเมื่อมีเอท厕โนลาไมน์  $100 \text{ mgL}^{-1}$  อยู่ การเปลี่ยนแปลงสีที่เกิดขึ้นจะถูกยับยั้ง ทำให้สารละลายยังคงมีสีม่วง และเมื่อทำการ เปรียบเทียบความเข้มสีกับ control ซึ่งมีสีเข้ม พบร่วงจะให้ผลต่างความเข้มสีที่ชัดเจนที่สุดเมื่อเทียบกับ อนุภาคเงินขนาดนาโนสีอื่นๆ ทางผู้วิจัยเชื่อว่าปรากฏการณ์ที่เกิดขึ้นนั้นเป็นผลมาจากการขนาดของอนุภาคเงิน ขนาดนาโน โดยอนุภาคเงินขนาดนาโนสีน้ำเงิน (ขนาด 50 nm) อาจมีขนาดที่ใหญ่เกินไป ทำให้มีอัตราการ ออกซิได้ช้าลง จึงมีการเปลี่ยนแปลงสีเป็นสีแดงซึ่งให้ค่าผลต่างความเข้มสีที่น้อยกว่า ในขณะเดียวกัน อนุภาคเงินขนาดนาโนสีเหลือง (ขนาด 10 nm) อาจมีขนาดที่เล็กเกินไป ทำให้การออกซิได้สูง เกิดขึ้น ได้ยาก จึงมีการเปลี่ยนแปลงสีเกิดขึ้นเพียงเล็กน้อยและให้ผลต่างความเข้มสีสีน้อย เช่นเดียวกัน ดังนั้นอนุภาคเงินขนาดนาโนเมตรสีม่วงจึงได้ถูกนำมาใช้ในงานวิจัยนี้

### 2.2 ผลของการเติมโภบล็อกซ์เลฟต์

โภบล็อกซ์เลฟต์จัดเป็นอีกหนึ่งปัจจัยสำคัญต่อสภาวะการทดลอง ซึ่งในการทดลองได้ทำการ ทดสอบการเปลี่ยนแปลงสีที่เกิดขึ้นในสภาวะที่มีเอท厕โนลาไมน์  $100 \text{ mgL}^{-1}$  โดยมีโภบล็อกซ์เลฟต์  $1000 \text{ mgL}^{-1}$  และปราศจากโภบล็อกซ์เลฟต์ พบร่วงการมีอยู่ของโภบล็อกซ์เลฟต์ทำให้สารละลายยังคงมีสีม่วง หรือสามารถยับยั้งการเปลี่ยนแปลงสีของอนุภาคเงินขนาดนาโนได้ โดยกลไกการยับยั้งการออกซิได้ซึ่ง อนุภาคเงินขนาดนาโนจากออกซิเจนในสภาวะที่มีโภบล็อกซ์เลฟต์และแคลเซียมคลอไรด์ด้วยเอท厕โนลาไมน์ที่ แผ่นอนนั้นยังคงอยู่ในขั้นตอนการศึกษาที่ละเอียดลงไป แต่ทางผู้วิจัยเชื่อว่า โภบล็อกซ์สามารถประพฤติตัว เป็นตัวเร่งปฏิกิริยา (catalyst) ในปฏิกิริยาออกซิเดชันได้ ดังนั้นในงานวิจัยนี้จึงเลือกใช้โภบล็อกซ์เลฟต์  $1000 \text{ mgL}^{-1}$  เป็นสารที่ช่วยเพิ่มความสามารถในการยับยั้งการเปลี่ยนแปลงสีของเอท厕โนลาไมน์

### 2.3 ผลการศึกษาความเข้มข้นที่เหมาะสมของแคลเซียมคลอไรด์

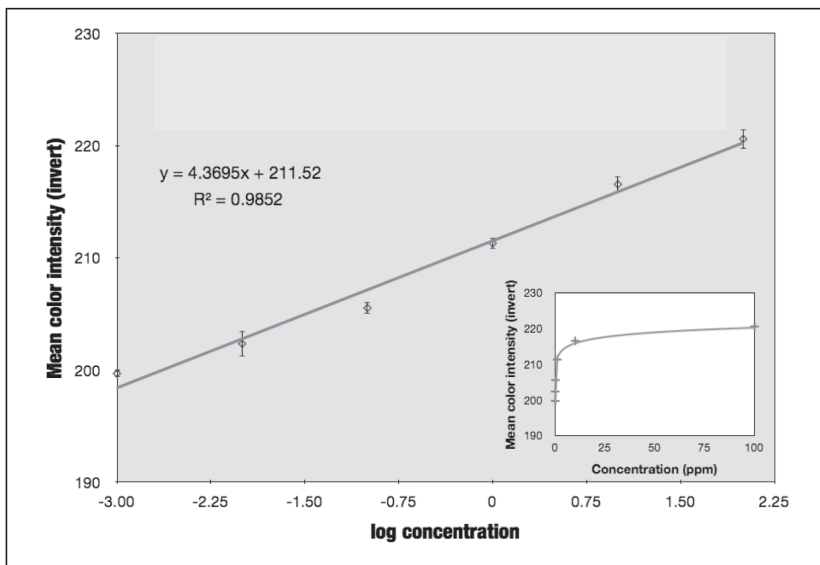
นอกจากนี้ ความเข้มข้นของแคลเซียมคลอไรด์ก็ส่งผลสำคัญต่อการเปลี่ยนแปลงสีของอนุภาคเงินขนาดนาโน ซึ่งในการทดลองได้ทำการทดสอบผลของการเปลี่ยนแปลงสีของอนุภาคเงินขนาดนาโน โดยมีความเข้มข้นของแคลเซียมคลอไรด์เป็น  $100 \text{ mgL}^{-1}$  และ  $1000 \text{ mgL}^{-1}$  พนว่าการใช้แคลเซียมคลอไรด์เข้มข้น  $1000 \text{ mgL}^{-1}$  ส่งผลทำให้การสังเกตการเปลี่ยนแปลงสีนั้นทำได้ยาก เนื่องจากจะสังเกตการยับยั้งการเปลี่ยนแปลงสีด้วยเอทธานอลามีนได้ลดลง ดังนั้นจึงเลือกใช้แคลเซียมคลอไรด์ความเข้มข้น  $100 \text{ mgL}^{-1}$  รูปที่ 3 แสดงผลการคัดกรองและวิเคราะห์เอทธานอลามีนในสภาวะที่เหมาะสม คือ ใช้สารละลายเงินขนาดนาโนเมตรลีม่วง โคลบอลต์ชัลเฟต  $1000 \text{ mgL}^{-1}$  และแคลเซียมคลอไรด์  $100 \text{ mgL}^{-1}$



**รูปที่ 3** แสดงการเปลี่ยนสีของอนุภาคเงินขนาดนาโนเมตรในสภาวะที่มีเอทธานอลามีน  $100 \text{ mgL}^{-1}$  ด้วยอนุภาคเงินขนาดนาโนเมตรลีม่วงขนาดอนุภาค  $35 \text{ nm}$  เทียบกับ control (control คือ สารละลายผสมของอนุภาคเงินขนาดนาโนเมตร, โคลบอลต์ชัลเฟต และ แคลเซียมคลอไรด์) ภายใต้สภาวะการทดลองที่เหมาะสม

### 3. การทดสอบความใช้ได้ของวิธีวิเคราะห์

ภายใต้สภาวะที่เหมาะสม พนว่าการคัดกรองและตรวจวิเคราะห์เอทธานอลามีนโดยวิธีวิเคราะห์ที่พัฒนาขึ้นนั้น แสดงความสัมพันธ์เชิงเส้นระหว่างค่าความเข้มสีเฉลี่ย (Mean intensity) และลักษณะที่มีของความเข้มข้นของเอทธานอลามีน (logarithmic concentration of ethanolamine) เป็นแบบเส้นตรงโดยช่วงความเป็นเส้นตรงน้อยที่ช่วง  $1 \text{ } \mu\text{gL}^{-1}$  ถึง  $100 \text{ mgL}^{-1}$  โดยมีสัมประสิทธิ์ความเป็นเส้นตรง ( $r^2$ ) เท่ากับ 0.9852 ดังแสดงในรูปที่ 4 และมีค่าจำกัดตรวจวัดและหาปริมาณเท่ากับ  $0.5 \text{ } \mu\text{gL}^{-1}$  และ  $1 \text{ } \mu\text{gL}^{-1}$  ตามลำดับ



รูปที่ 4 กราฟแสดงความสัมพันธ์ระหว่างความเข้มลีดเลี้ย (Mean intensity) และลักษณะการทึบของความเข้มข้นของเออทานอลามีนที่ความเข้มข้นแตกต่างกัน

ผลของการศึกษาความจำเพาะของวิธีวิเคราะห์ ทำการคัดกรองและวิเคราะห์เออทานอลามีนที่ความเข้มข้นเท่ากับ  $100 \text{ mgL}^{-1}$  เมื่อมีการเติมสารรบกวน (Interference) อื่นๆ ที่อาจพบได้ในตัวอย่างน้ำทิ้ง เพื่อตรวจสอบดูว่าสารรบกวนเหล่านั้นมีผลกระทบต่อการเปลี่ยนลีดของสารละลายหรือไม่ โดยใช้หลักการว่าการรบกวนที่ยอมรับได้จะให้ช่วงค่าเบี่ยงเบนของความเข้มลีดเลี้ยได้เท่ากับ  $\pm 5$  เปอร์เซ็นต์ พบว่าความเข้มข้นของสารรบกวนที่มีผลต่อการตรวจจับเออทานอลามีน แสดงในตารางที่ 1 จากผลการศึกษาพบว่าวิธีที่พัฒนาขึ้นมาใหม่มีความจำเพาะเจาะจงดีต่อการคัดกรองและวิเคราะห์เออทานอลามีน

ตารางที่ 1 แสดงผลของสารรบกวนที่เติมลงไปที่ความเข้มข้นสูงมากจึงจะมีผลกระทบต่อการวิเคราะห์

| สารรบกวน  | อัตราส่วนความเข้มข้นของสารรบกวน<br>(ความเข้มข้นของเออทานอลามีนต่อความเข้มข้นของสารรบกวน) |
|---|--|
| $\text{Zn}^{2+}$ , $\text{Mn}^{2+}$ , $\text{Mg}^{2+}$ , $\text{Ni}^{2+}$ , $\text{Cr}^{6+}$<br>$\text{Al}^{3+}$ , $\text{Fe}^{2+}$ , $\text{NO}_3^-$ , $\text{NO}_2^-$<br>$\text{SO}_4^{2-}$ , $\text{CN}^-$ , $\text{CH}_3\text{COO}^-$ | มากกว่า 1000   |

#### 4. ผลของการวัดปริมาณເອທາໄນລາມືນໃນຕ້ວອຢ່າງນໍາທີ່

ຕ້ວອຢ່າງທີ່ເລືອກທຳການວິເຄຣະທີ່ໃນຈາກວິຈີຍນີ້ ໄດ້ແກ່ ນໍາທີ່ ທດສອບໂດຍການເຕີມສາມາດຮູ້ານເອທາໄນລາມືນລັງໄປໃນຕ້ວອຢ່າງທີ່ຮະດັບຄວາມເຂັ້ມຂັ້ນຕ່າງໆ ກັນ ແລະ ນໍາວິເຄຣະທີ່ດ້ວຍວິທີ່ທີ່ພັດນາເຂົ້າກາຍໄຫ້ ສກວະທີ່ເໝາະສົມ ທຳການສຶກໜາຄວາມເຖິງແລະຄວາມແມ່ນຂອງວິທີ່ ຈາກການຕຽບວັດປະມານເອທາໄນລາມືນໃນຕ້ວອຢ່າງຈິງ ພົບວ່າເນື່ອທຳການດຳນວນທາຄ່າຮ້ອຍລະກາກລັບຄືນ (%Recovery) ມີຄ່າອູ້ໃນຊ່ວ່າງ 98.70-116.32% ແລະ ຄ່າຄວາມເຖິງ (%RSD) ອູ້ໃນຊ່ວ່າງ 5.58-7.36% ຈະເຫັນໄດ້ວ່າຄ່າທີ່ໄດ້ເປັນຄ່າທີ່ສາມາດຮູ້ານໄດ້ ດັ່ງນັ້ນວິທີ່ທີ່ພັດນາເຂົ້າຈຶ່ງສາມາດຕຽບວັດປະມານເອທາໄນລາມືນໃນຕ້ວອຢ່າງຈິງໄດ້

#### ສຽງແລະວິຈາຮົມຜົດກາຣທົດລອງ

ຈາກວິຈີຍນີ້ເປັນກາຣສຶກໜາແລະພັດນາວິທີ່ທີ່ໃຊ້ໃນການຕຽບວັດເອທາໄນລາມືນໂດຍອາສີຫລັກກາຣເປົ່າຍືນແປລງສື່ອງອຸປະກອດເອົາໄວ້ ໂດຍວິທີ່ທີ່ພັດນາເຂົ້ານີ້ເປັນວິທີ່ທີ່ມີມາຄາຄູກ ສະດວກ ວົດເຮົວ ແລະ ມີຄວາມໄວໃນການຕຽບວິເຄຣະທີ່ດີ ຈຶ່ງລົດຊື້ຈຳກັດໃນການໃຊ້ຈາກເຄື່ອງມືອື່ນໆ ທີ່ມີມາຄາແພັງໄດ້ ອີກທີ່ຍັງສາມາດຄຳນຳໄປຕ່ອຍອດເພື່ອພັດນາເປັນອຸປະກອດທີ່ສາມາດຄຽບວັດເອທາໄລມືນແບບບັງຄັບທັນທີໄດ້ໃນຫຼົດປະຈຳວັນໂດຍກາຍໄດ້ສກວະທີ່ເໝາະສົມ ວິທີ່ວິເຄຣະທີ່ທີ່ພັດນາເຂົ້າພົມວ່າມີຊ່ວ່າງຄວາມເປັນເລັ້ນຕຽງອູ້ໃນຊ່ວ່າງ  $1 \text{ } \mu\text{g L}^{-1}$  ປື້ນ 100  $\text{mg L}^{-1}$  ແລະ ມີຈຳກັດຕຽບດັບແຫ່ງປົມພາກທີ່ກຳນົດໄດ້  $0.5 \text{ } \mu\text{g L}^{-1}$  ແລະ  $1 \text{ } \mu\text{g L}^{-1}$  ຕາມລຳດັບ ຜົ່ງເປັນຄວາມເຂັ້ມຂັ້ນທີ່ຄຽບຄຸມຮະດັບຂອງສາຮເອທາໄນລາມືນທີ່ສາມາດຮູ້ານໄໝໄໝໄດ້ (threshold limit value, TLV) ຂື້ນ  $3 \text{ } \text{mg L}^{-1}$  ອີກທີ່ຍັງສາມາດຄິດຕາມຜລໄດ້ຈາກກາຣເປົ່າຍືນແປລງສື່ທີ່ເກີດໄດ້ອ່າງຍ່າຍແລະວົດເຮົວ ໂດຍຫາກສາຮລາຍນັ້ນມີເອທາໄນລາມືນອູ້ ເອທາໄນລາມືນຈະສາມາດຍັ້ງກາຣເປົ່າຍືນແປລງຈາກລື່ອງອຸປະກອດເອົາໄວ້ ພົບວ່າມີເວັບເວັບຕາມການຕຽບວັດສາຮເອທາໄນລາມືນທີ່ໄດ້ ຜົ່ງສາມາດເຫັນກາຣເປົ່າຍືນແປລງທີ່ເກີດເຂົ້ານີ້ດ້ວຍຕາເປົ່າໂດຍໄມ່ຕ້ອງໃຊ້ເຄື່ອງມືອິດໆ ຈຶ່ງເປັນກາຣປະຫຼັດເວລາແລະຄດຄ່າໃຊ້ຈ່າຍຈາກການຕຽບວັດດ້ວຍເຄື່ອງມືທີ່ມີມາຄາແພັງແລະໃຊ້ເວລານາ ແລະສາມາດພັດນາຕ່ອໄປເປັນຫຼຸດຕຽບສາຮເອທາໄນລາມືນສິນຕ່ອໄປໃນອາຄະດໄໝ

#### ກິຕິກຣມປະກາດ

ຂອຂອບຄຸລັນເງິນທຸນສັນສັນນຸ່ງກາຣວິຈີຍຈາກນປະມານແຜ່ນດິນມາຫວິທາລັຍ ປະຈຳປີ 2558 (ຮັບໂຄງການ 189/2558) ຂອຂອບຄຸລັນກາວົກວິຈາເຄມີ ຄະວິທາຍາສົດ ມາຫວິທາລັຍຄົງປົງການການວິໄລ ແລະ ໜ່ວຍປົງປັບຕິກາຣເຊີງໄຟຟ້າເຄມີແລະແສງ ກາວົກວິຈາເຄມີ ຄະວິທາຍາສົດ ຈຸ່າລັງການການວິໄລທີ່ເອົ້ວເື້ອສັນທີ່ແລະອຸປະກອດເພີ່ມເຕີມສໍາຫັບກາຣສຶກໜາແລະກາຣພັດນາວິທີ່ເອທາໄນລາມືນ

## ເອກສາຣອ້າງອີງ

1. D., A.; Sengupta, A.; Kumar, S. D.; Kumbhar, A. G.; Venkateswaran, G. 2011. Derivatization Ion Chromatography for the Determination of Monoethanolamine in Presence of Hydrazine in PHWR Steam-Water Circuits. *International Journal of Analytical Chemistry*, 2011, 1-5.
2. Prasanna, S.J.; Kumar, K.S.R.P.; Mukkanti, K.; Kumar, V.J.; Sharma, H.K. 2010. A Simple and Sensitive Ion Chromatography Method for the Determination of Ethanolamine in Pharmaceutical Drug Substances. *Der Pharma Chemica*, 2(4), 409-416.
3. Modica-Napolitano, J. S.; Renshaw, P. F. 2004. Ethanolamine and Phosphoethanolamine Inhibit Mitochondrial Function in vitro: Implications for Mitochondrial Dysfunction Hypothesis in Depression and Bipolar Disorder. *Biological Psychiatry*, 55 (3), 273-277.
4. Piekos, R.; Kobylczyk, K.; Grzybowski, J. 1975. Quantitative Gas Chromatographic Determination of Ethanolamines as Trimethylsilyl Derivatives. *Analytical Chemistry*, 47 (7), 1157-1159.
5. McMaster, C.; Choy, P. 1992. The Determination of Tissue Ethanolamine Levels by Reverse-Phase High-Performance Liquid Chromatography. *Lipids*, 27 (7), 560-563.
6. Mrklas, O.; Chu, A.; Lunn, S. 2003. Determination of Ethanolamine, Ethylene Glycol and Triethylene Glycol by Ion Chromatography for Laboratory and Field Biodegradation Studies. *Journal of Environmental Monitoring*, 5 (2), 336-340.

ໄດ້ຮັບທົກລວມວັນທີ 18 ກັນຍາຍັນ 2558  
ຍອມຮັບຕື່ພິມພົວນີ້ 4 ພຸດຍົກຍັນ 2558